

طراحی کنترل کننده‌ی تکه‌تکه‌ی H_{∞} برای سیستم‌های تکه‌تکه‌ی مستوی

بهروز مولانی (کارشناس ارشد)

محمد موبد (استاد بار)

دانشکده‌ی هندسی برق، دانشگاه صنعتی شریف

مجله‌ی علمی پژوهشی
دانشگاه رودهن
شماره ۱۳، سال ۸۸
پیاپی ۱۱

موضوع این پژوهش، طراحی کنترل کننده‌ی تکه‌تکه‌ی خطی دینامیکی از نوع تکه‌تکه‌ی H_{∞} برای سیستم‌های تکه‌تکه‌ی مستوی است. مسئله‌ی اصلی به صورت مجموعه‌یی از مسائل طراحی کنترل کننده‌های H_{∞} در نظر گرفته می‌شود و شان داده می‌شود که می‌توان این مجموعه از مسائل را در قالب مسائل بهینه‌سازی محدب با قیدهای نابرابری ماتریس خطی بیان کرد که از طریق نرم‌افزارهای موجود به نحوی کارآمد قابل حل آن. حلقه‌ی بسته‌ی مشکل از کنترل کننده‌ی پیشنهادی و سیستم تکه‌تکه‌ی مستوی قادر به تعقیب و روایی مبنا در خروجی همراه با در نظر گرفتن محدودیت در اثری سیگنال کنترلی است. به علاوه می‌توان در طراحی کنترل کننده شرایطی اعمال کرد که تأمین کننده‌ی پیوستگی سیگنال کنترلی باشد. به منظور بررسی پایداری حلقه‌ی بسته از توابع لیاپونوف تکه‌تکه‌ی مربعی استفاده می‌شود. کارآئی کنترل کننده‌ی پیشنهادی از طریق شبیه‌سازی مورد بررسی قرار می‌گیرد.

واژگان کلیدی: سیستم تکه‌تکه‌ی مستوی، کنترل کننده‌ی تکه‌تکه‌ی خطی،
 H_{∞} کنترل کننده‌ی، نابرابری ماتریسی خطی.

مقدمه

شده است. باید توجه داشت که در برخی از این بررسی‌ها فقط به کنترل کننده با فیدبک حالت پرداخته شده، و هیچ‌کدام موضوع کنترل کننده‌ی دینامیکی را مورد توجه قرار نداده‌اند.^[۱, ۲] نکته‌ی دیگر این است که روش مورد استفاده در این بررسی‌ها تبدیل مسئله‌ی اصلی به برنامه‌ریزی نیمه‌معین است که به‌دلیل وجود الگوریتم‌های کارآمد برای حل مسائل بهینه‌سازی نیمه‌معین، به نظر روشی مناسب و قابل اطمینان است. در برخی دیگر از این بررسی‌ها کاربردهایی از نابرابری‌های ماتریسی خطی در نظریه‌ی کنترل و سیستم‌ها،^[۳, ۴] و نیز شرحی از الگوریتم‌های رایج در حل مسائل بهینه‌سازی محدب تحت قیدهای نابرابری‌های ماتریسی خطی ارائه شده است.^[۵]

تحقیقات نشان داده که برای سیستم‌های تکه‌تکه‌ی مستوی می‌توان کنترل کننده‌یی با ساختار تخمین‌گر و تنظیم‌کننده طراحی کرد.^[۶] این کار، اولین تلاش در زمینه‌ی طراحی کنترل کننده‌ی دینامیکی برای سیستم‌های تکه‌تکه‌ی مستوی است. در تحقیق پادشاهه جست‌وجو برای تابع لیاپونوف تکه‌تکه‌ی مربعی و کنترل کننده‌ی تکه‌تکه‌ی مستوی به صورت مسئله‌ی نابرابری ماتریسی دوخطی (BMI)^[۷] عنوان می‌شود. البته چون قید نابرابری ماتریسی دوخطی یک قید محدب نیست، حل این مسئله ممکن است دشوار باشد. روش پیشنهادی برای رفع این مشکل، استفاده از V-K است که یک روش تکراری^[۸] است و براساس اطلاعات موجود، تضمینی برای همگرای سراسری ندارد.^[۹]

به نظر می‌رسد طراحی کنترل کننده‌ی دینامیکی برای سیستم‌های تکه‌تکه‌ی

الگوهای تکه‌تکه‌ی خطی^[۱] و تکه‌تکه‌ی مستوی^[۲] رفتار بسیاری از سیستم‌های غیرخطی را به نحوی احسن توصیف می‌کنند.^[۱, ۲] این الگوها گونه‌ی خاصی از سیستم‌های هیبریدی‌اند که در آن‌ها دینامیک متناظر با هر یک از حالت‌های سیستم هیبرید، خطی یا مستوی است. سیستم‌های تکه‌تکه‌ی خطی و تکه‌تکه‌ی مستوی عمل‌به‌واسطه‌ی وجود اجرایی مانند اشباع، رله، هیسترزیس و نظر آن مشاهده می‌شوند. بنابراین تحلیل سیستم‌های تکه‌تکه‌ی مستوی و طراحی کنترل کننده‌ی مناسب برای آن‌ها، مبحث مهمی در نظریه‌ی کنترل است.

در این ده و نیز در دهه‌ی قبل، نتایجی در زمینه‌ی تحلیل و طراحی این گونه سیستم‌ها به دست آمده است. برخی از این نتایج نشان‌گر آن است که می‌توان با استفاده از توابع لیاپونوف تکه‌تکه‌ی مربعی، پایداری و کارآئی سیستم‌های تکه‌تکه‌ی مستوی را در قالب مسائل برنامه‌ریزی نیم معین بیان کرد.^[۱, ۲] و در صورت برآورده شدن مجموعه‌یی از شرایط کافی، پایداری نمایی و کارآئی بهینه به دست می‌آید. همچنین مسئله‌ی پایداری و کارآئی H_{∞} برای سیستم‌های تکه‌تکه‌ی مستوی با استفاده از توابع لیاپونوف و تکه‌تکه‌ی مربعی بررسی، و نتایج حاصله در چارچوب نابرابری‌های ماتریسی خطی (LMI)^[۲] بیان شده‌اند.^[۱] به علاوه، مسئله‌ی طراحی کنترل کننده با فیدبک حالت تکه‌تکه‌ی خطی با استفاده از تابع لیاپونوف مربعی، به شکل مسئله‌ی بهینه‌سازی محدب تحت قیدهای نابرابری‌های ماتریسی خطی بیان

تاریخ: دریافت ۱۰ آگوست ۱۳۸۵، داوری ۲۹ آگوست ۱۳۸۶، پذیرش ۱۲ آگوست ۱۳۸۶.

$$\begin{aligned} \text{خروجی‌ها } & R^q \in y(t) \quad \text{چنین باشد:}^{[4]} \\ H_i \quad & \dot{x}(t) = A_i x(t) + b_i + B_i u(t) \quad x(t) \in X_i \quad i \in I = \{1, \dots, m\} \\ & y(t) = C_i x(t) + D_i u(t) \end{aligned} \quad (1)$$

در اینجا $\{X_i\}$ نوعی تقسیم‌بندی یا افزایش برای فضای حالت به m ناحیه با سلول چندوجهی محدب است که دو بهدو نامداخلاند. مجموعه‌ی اندیس‌های این ناحیه‌ها با I نمایش داده می‌شود و $I = \{1, \dots, m\}$. اجتماع X_i و نقاط مرزی اش با نماد $\overline{X_i}$ نمایش داده می‌شود. H_i نمایش گر نامین دینامیک مستوی (نه تکه‌تکه‌ی مستوی) است. هر i از اشتراک تعداد p_i نیم فضای R^n تشکیل شده است:

$$X_i = \left\{ x \in R^n \mid h_{ij}^T x < g_{ij}, j = 1, \dots, p_i \right\} \quad (2)$$

و البته می‌توان رابطه‌ی ۲ را به صورت یک نابرابری برداری نیز نوشت:

$$X_i = \left\{ x \in R^n \mid H_i^T x < g_i \right\} \quad (3)$$

که در آن $[h_{i1} \dots h_{ip_i}]^T$ و $H_i = [g_{i1} \dots g_{ip_i}]$. به علاوه، فرض می‌شود که یک توصیف پارامتری برای مرز بین دو ناحیه‌ی X_i و $\overline{X_i}$ در دسترس است:

$$\overline{X_i} \cap X_j \subseteq \left\{ f_{ij} + F_{ij} z \mid z \in R^{n-1} \right\} \quad i = 1, \dots, m \quad j \in \nu_i \quad (4)$$

که در آن ν_i مجموعه‌ی اندیس‌های سلول‌های مجاور با سلول X_i است، $F_{ij} \in R^{n \times (n-1)}$, یک ماتریس رتبه‌ تمام است، $f_{ij} \in R^n$ یک بردار حقیقی است. یک روش اصولی برای بدست آوردن تقریب تکه‌تکه‌ی مستوی برای سیستم‌های غیرخطی ارائه شده است.^[2]

پایداری سیستم‌های تکه‌تکه‌ی مستوی

قبل از هرگونه خواص کارآیی، حلقه‌ی بسته باید دست‌کم طبق یکی از تعاریف موجود، پایدار باشد. یکی از اهداف طرح موضوع پایداری در این نوشتار، تأکید بر لزوم بررسی پایداری حلقه‌ی بسته‌ی نهایی به عنوان گامی مستقل از گام طراحی است. در کنترل خطی، هنگامی که برای یک plant خطی یک کنترل‌کننده‌ی H_∞ طراحی می‌شود، حلقه‌ی بسته‌ی نهایی خود به خود پایدار است و پس از اتمام طراحی، دیگر نیازی به بررسی پایداری وجود نخواهد داشت. اما همان‌طور که قبل از مقدمه ذکر شد، در اینجا plant و کنترل‌کننده به ترتیب خطی و H_∞ نیستند. بنابراین، از قبل تضمینی برای پایداری حلقه‌ی بسته وجود ندارد و لازم است مستقلانه بررسی شود. آنچه تحت عنوان «پایداری» در این نوشتار ارائه می‌شود، براساس نظریه‌ی پایداری لیپونوف و دیگر نتایج محققین برداشت شده است.^[3, 4] مطالب این بخش برای هر سیستم تکه‌تکه‌ی مستوی با معادلاتی نظیر معادله‌ی ۱ صادق‌اند. البته معادلات ۱ سیستم حلقه‌باز را الگویی می‌کنند، اما پس از طراحی کنترل‌کننده‌ی تکه‌تکه‌ی خطی می‌توان معادلات حلقه‌ی بسته‌ی کل را نیز به صورت تکه‌تکه‌ی مستوی نوشت و مطالب این بخش را به حلقه‌ی بسته نیز اعمال کرد. این یکی از کارهایی است که

مستوی موضوعی است که کمتر مورد توجه قرار گرفته است. نوآوری نوشتار حاضر، تبدیل مستوی‌های طراحی کنترل‌کننده‌ی دینامیکی برای سیستم‌های تکه‌تکه‌ی مستوی به مستوی‌های بهینه‌سازی نیمه‌معین است. دو گام کلیدی در این راستا وجود دارد: گام اول استفاده از نمادسازی مناسبی است که از طریق آن سیستم تکه‌تکه‌ی مستوی توسعه یک سیستم تکه‌تکه‌ی خطی نمایش داده می‌شود. گام دوم اعمال تغییر متغیرهای مناسب در ماتریس‌های کنترل‌کننده است که قیدهای BMI را به قیدهای LMI تبدیل می‌کند. سیستم تکه‌تکه‌ی خطی حاصل از گام اول، مجموعه‌یی از دینامیک‌های خطی است که برای هر یک از آن‌ها، یک کنترل‌کننده‌ی H_∞ طراحی می‌شود. برای این منظور، نخست با تثیت ساختار کنترلی حلقه‌ی بسته و معروفی خروجی‌های کارآیی، سیستم افزایش یافته تشکیل داده می‌شود و سپس با استفاده از شیوه‌های LMI در طراحی کنترل‌کننده‌ای H_∞ ^[1] یک مستوی‌های بهینه‌سازی محدود تحقیق می‌کند که می‌توان توسعه نرم‌افزارهای موجود، آن را با سرعت و دقت حل کرد.

کنترل‌کننده‌ی نهایی، کنترل‌کننده‌ی «تکه‌تکه‌ی H_∞ » یا «خانواده‌یی از کنترل‌کننده‌های H_∞ » است. لذا کنترل‌کننده‌ی نهایی را نمی‌توان یک کنترل‌کننده‌ی H_∞ دانست. سیستم کنترل‌شونده یا اصطلاحاً «plant»^[4] بنا به فرض تکه‌تکه‌ی کنترل‌شونده و بنابراین سیستمی خطی نیست. روش این است که حتی اگر سیستم کنترل‌شونده تکه‌تکه‌ی خطی بود، هنوز نمی‌توانست آن را سیستمی خطی به حساب آوریم. این دو ویژگی یعنی خطی نبودن سیستم کنترل‌شونده و H_∞ نبودن کنترل‌کننده‌ای، نتیجه‌ی مهمی درباره‌ی پایداری یا عدم پایداری حلقه‌ی بسته ارائه می‌دهند: به طور عام، پایداری حلقه‌ی بسته به خودی خود و صرفاً به این دلیل که در طراحی کنترل‌کننده‌ی نهایی از روش H_∞ استفاده شده، تضمین شده نیست. بنابراین، پایداری حلقه‌ی بسته نیاز به بررسی جداگانه دارد.

یکی از دلایل انتخاب کنترل‌کننده‌های H_∞ برای تکه‌تکه‌ی خطی شده‌ی plant، پایداری است. کنترل‌کننده‌های H_∞ از نظر کارآیی و پایداری در مقابل شرایط مختلف کاری و تغییرات احتمالی مقادیر پارامترها مقاوم‌اند؛ لذا انتظار می‌رود که کنترل‌کننده‌های تکه‌تکه‌ی H_∞ نیز با بهره‌گیری از تمام یا بعضی از ویژگی‌های کنترل‌کننده‌های H_∞ مقاوم باشند. بدینهی است این نتیجه‌گیری کاملاً شهودی است و هرگونه اثبات مستلزم تحلیل یا شبیه‌سازی است. در این نوشتار موضوع پایداری بیش از این پی‌گیری نشده است.

موضوع دیگری که در این نوشتار به آن اشاره شده است، پیوستگی سیگنال کنترلی است. در اینجا شرایطی ارائه می‌شود که در تیجه‌ی اعمال آن‌ها در طراحی کنترل‌کننده، سیگنال کنترلی پیوسته باشد. در این نوشتار پس از مقدمه، سیستم‌های تکه‌تکه‌ی مستوی توصیف می‌شود. و پس از آن مطالبی که برای بررسی پایداری حلقه‌ی بسته مورد استفاده قرار خواهند گرفت ارائه می‌شود. در قسمت اصلی این نوشتار به بحث پیرامون روش طراحی کنترل‌کننده‌ی تکه‌تکه‌ی خطی دینامیکی، برای سیستم‌های تکه‌تکه‌ی مستوی خواهیم پرداخت. و در نهایت مثالی از یک سیستم غیرخطی، تقریب تکه‌تکه‌ی مستوی آن ارائه می‌شود، و یک کنترل‌کننده‌ی تکه‌تکه‌ی خطی و بررسی کارآیی کنترل‌کننده و پایداری حلقه‌ی بسته بررسی می‌شود.

سیستم‌های تکه‌تکه‌ی مستوی

طبق تعاریف ارائه شده سیستم تکه‌تکه‌ی مستوی عبارت است از سیستمی که معادلات

مراحل بعدی برای تشکیل معادلات حلقه‌ی بسته و استفاده از ابزار H_{∞} به منظور طراحی کنترل‌کننده مناسب باشد، به صورتی جدید بازنویسی می‌شوند. این صورت جدید، کما کان تکه‌تکه‌ی مستوی است و سیستم یا plant افزایش یافته نامیده خواهد شد. بنابراین سیستم تکه‌تکه‌ی خطی مستقیماً از معادلات ۱ به دست نمی‌آید بلکه از سیستم افزایش یافته که معادلات آن ذیلاً آورده شده‌اند به دست می‌آید.

برای رسیدن به plant افزایش یافته، ابتدا با هدف نهایی استفاده از مقاومت شکل دهندهٔ حلقةٔ 7 توسط ابزار $H_{\infty}^{[10]}$ به معرفی سیگنال‌های $w(t)$ (ورودی‌های پیروزی plant ارزقیل سیگنال مبنا و اغتشاشات)، $z(t)$ (خروجی‌های کارایی)، و $e(t)$ (خروجی‌های درونی plant) که ورودی‌های کنترل‌کننده‌اند) معرفی می‌شوند. سپس معادلات plant افزایش یافته چنین نوشته می‌شوند:

$$\begin{aligned} \dot{x}(t) &= A_i x(t) + b_i + B_i^w w(t) + B_i^u u(t) \\ G_i : \quad z(t) &= C_i^z x(t) + D_i^{zw} w(t) + D_i^{zu} u(t) \\ e(t) &= C_i^e x(t) + D_i^{ew} w(t) \\ x(t) &\in X_i \quad i = 1, \dots, m \end{aligned} \quad (11)$$

سیگنال‌های w, z, e بداری و به ترتیب از ابعاد n_w, n_z, n_e هستند. این سیگنال‌ها در معادلات ۱ حضور نداشتند. سیگنال u در معادلات ۱۱ همان u در معادلات ۱ است که ورودی کنترلی (خروجی کنترل‌کننده و ورودی درونی plant) و از بعد p است. اما x در معادلات ۱۱ ممکن است با x در معادلات ۱، حتی از نظر بعد، متفاوت باشد و عموماً هم چنین است. درنتیجه، X_i ‌ها در معادلات ۱۱ ممکن است با X_i ‌ها در معادلات ۱ متفاوت باشند. در معادلات ۱۱ فرض می‌شود که $x(t)$ از بعد \bar{n} باشد. به علاوه ماتریس‌های A_i و بدارهای b_i نیز در معادلات ۱۱ می‌توانند با A_i و b_i ها در معادلات ۱ متفاوت باشند. با این حال، به منظور اجتناب از تعدد علامات، از همان حروف قبلی برای نمایش x, A_i, b_i و X_i در معادلات ۱۱ استفاده شده است. به طور خلاصه، نقطه‌ی شروع برای طراحی کنترل‌کننده، معادلات ۱۱ هستند و G_i نمایش‌گر ناامن دینامیک مستوی (نه تکه‌تکه‌ی مستوی) است. گوییم plant در مدد یا وجه آن است هرگاه $x(t) \in X_i$. حال ماتریس‌های \bar{A}_i و \bar{B}_i^w و \bar{B}_i^u و \bar{B}_i^z به ترتیب بحسب ماتریس‌های A_i و B_i^w و B_i^u نیز ارضا شوند: بردار (t) بر حسب بردار $w(t)$ طبق نمادسازی ۱۲ تعریف می‌شوند:

$$\begin{aligned} \bar{w}(t) &= \begin{bmatrix} w(t) \\ 1 \end{bmatrix} \quad \text{و} \quad \begin{bmatrix} \bar{A}_i & \bar{B}_i^w & \bar{B}_i^u \\ \bar{C}_i^z & \bar{D}_i^{zw} & \bar{D}_i^{zu} \\ \bar{C}_i^e & \bar{D}_i^{ew} & \end{bmatrix} \\ &= \begin{bmatrix} A_i & \begin{bmatrix} B_i^w & b_i \end{bmatrix} & B_i^u \\ C_i^z & \begin{bmatrix} D_i^{zw} & \circ \end{bmatrix} & D_i^{zu} \\ C_i^e & \begin{bmatrix} D_i^{ew} & \circ \end{bmatrix} & \end{bmatrix} \end{aligned} \quad (12)$$

يعني $\bar{B}_i^w = [B_i^w \quad b_i]$ و $\bar{A}_i = A_i$ الى آخر. با استفاده از معادله‌ی ۱۲، می‌توان معادلات ۱۱ را چنین بازنویسی کرد:

$$\begin{aligned} \dot{x}(t) &= \bar{A}_i x(t) + \bar{B}_i^w \bar{w}(t) + \bar{B}_i^u u(t) \\ \bar{G}_i : \quad z(t) &= \bar{C}_i^z x(t) + \bar{D}_i^{zw} \bar{w}(t) + \bar{D}_i^{zu} u(t) \\ e(t) &= \bar{C}_i^e x(t) + \bar{D}_i^{ew} \bar{w}(t) \\ x(t) &\in X_i \quad i = 1, \dots, m \end{aligned} \quad (13)$$

در بخش پنجم انجام شده است.تابع لیاپانوف تکه‌تکه‌ی مربعی $V(x)$ طبق m ضابطه‌ی زیر تعریف می‌شود:

$$V(x) = x^T P_i x + 2q_i^T x + r_i \quad x \in X_i \quad i = 1, \dots, m \quad (5)$$

که در آن $P_i \in R^{n \times n}$, $q_i \in R^n$, $P_i = P_i^T$ و $r_i \in R$ هستند که $V(x)$ مثبت و پیوسته باشد. شرط کافی برای مشتبد بودن $V(x)$ این است که:

$$\begin{bmatrix} P_i & q_i \\ q_i^T & r_i \end{bmatrix} > 0 \quad i = 1, \dots, m \quad (6)$$

شرط لازم و کافی برای پیوسته بودن (x) از توصیف پارامتری برای مرزین X_i و X_j به دست می‌آید:

$$F_{ij}^T (P_i - P_j) F_{ij} = 0$$

$$F_{ij}^T (P_i - P_j) f_{ij} + F_{ij}^T (q_i - q_j) = 0 \quad i = 1, \dots, m \quad j \in \nu_i$$

$$f_{ij}^T (P_i - P_j) f_{ij} + 2f_{ij}^T (q_i - q_j) + (r_i - r_j) = 0 \quad (7)$$

تعریفی که برای پایداری در نظر گرفته می‌شود این است که تحت \equiv $u(t) \equiv u$ ، یعنی وقتی ورودی متحدها برابر با صفر باشد، به ازای هر (x) ، حالت به سمت نقطه‌ی ای Q می‌پیوندد:

$$Q = \left\{ -P_1^{-1} q_1, \dots, -P_m^{-1} q_m \right\} \quad (8)$$

به عبارت دیگر، طبق تعریف سیستم ۱ پایدار است اگر و فقط اگر:

$$u(t) \equiv 0 \Rightarrow \lim_{t \rightarrow \infty} x(t) \in Q \quad \forall x(0) \in R^n \quad (9)$$

نقاطی که تابع (x) در آن‌ها دارای کمینه‌ی محلی است، متعلق به مجموعه‌ی Q هستند. با محاسبه‌ی مشتق (x) در امتداد مسیرهای حالت سیستم ۱ خواهیم داشت:

$$\frac{dV(x(t))}{dt} = \begin{bmatrix} x \\ 1 \end{bmatrix}^T \begin{bmatrix} A_i^T P_i + P_i A_i & P_i b_i + A_i^T q_i \\ b_i^T P_i + q_i^T A_i & 2b_i^T q_i \end{bmatrix} \begin{bmatrix} x \\ 1 \end{bmatrix}$$

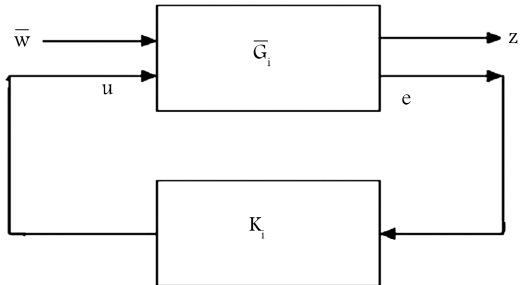
$$x(t) \in X_i \quad i = 1, \dots, m$$

با توجه به نظریه‌ی لیاپانوف نتیجه می‌شود که شرط کافی برای پایداری سیستم ۱ این است که سه تایی‌های $\{P_i, q_i, r_i\}_{i=1}^m$ یافت شوند به‌گونه‌ی که علاوه بر نابرابری‌های ۶ و برابری‌های ۷، نابرابری‌های ۱۰ نیز ارضا شوند:

$$\begin{bmatrix} A_i^T P_i + P_i A_i & P_i b_i + A_i^T q_i \\ b_i^T P_i + q_i^T A_i & 2b_i^T q_i \end{bmatrix} < 0 \quad i = 1, \dots, m \quad (10)$$

طراحی کنترل‌کننده

چنان که پیش‌تر یادآور شدیم، گام اول در روش پیشنهادی برای طراحی کنترل‌کننده، نمایش سیستم تکه‌تکه‌ی مستوی به صورت یک سیستم تکه‌تکه‌ی خطی است که از طریق نمادسازی مناسب انجام می‌شود. اما قبل از اعمال نمادسازی و رسیدن به سیستم تکه‌تکه‌ی خطی موعود، معادلات plant تکه‌تکه‌ی مستوی به‌گونه‌ی که در



شکل ۱. حلقه‌ی بسته برای سیستم افزایش یافته در وجه نام.

و همین طور برای H_∞ کارآیی برای $\|\bar{w}\|$. سیستم حلقه‌بسته‌ی T_i بزرگ‌تر از $\gamma_i > 0$ خواهد بود هرگاه $\|T_i\| < \gamma_i$. در بررسی‌های پیشین^[۱] نشان داده شده است که هرگاه دو نابرابری ماتریسی ۱۸ و ۱۹ برقرار باشند:

$$\begin{bmatrix} P_i A_i^{CL} + (P_i A_i^{CL})^T & P_i B_i^{CL} & (C_i^{CL})^T \\ (P_i B_i^{CL})^T & -\gamma_i I & (D_i^{CL})^T \\ C_i^{CL} & D_i^{CL} & -I \end{bmatrix} < 0. \quad (18)$$

$$P_i > 0. \quad (19)$$

جایی که $P_i = P_i^T \in R^{(\bar{n}+k) \times (\bar{n}+k)}$. نابرابری ماتریسی ۱۸، یک قید نابرابری ماتریسی دوخطی یا BMI است. بهترین کارآیی H_∞ از کمینه‌سازی γ_i تحت قيد ۱۸ و ۱۹ به دست می‌آید. یعنی ماتریس P_i و ماتریس‌های کنترل‌کننده باید به نحوی محاسبه شوند که γ_i تحت ۱۸ و ۱۹ کمینه شود. مسئله‌ی بهینه‌سازی با قیدهای BMI یک مسئله‌ی غیر‌محدب است که دشوار محسوب می‌شود و طبق اطلاعات موجود، روش کارآمدی در دست نیست که بتواند چنین مسئله‌ی را، حتی در صورت وجود جواب، حل کند. در اینجا روشی معروفی می‌شود که با استفاده از آن بتوان قید ۱۸ را که یک نابرابری ماتریسی دوخطی است، به قید نابرابری ماتریسی خطی تبدیل کرد.

الف) تبدیل به نابرابری ماتریسی خطی

در این بخش با نگاهی به اطلاعات موجود^[۱۰] تغییر متغیر مناسبی برای ماتریس‌های کنترل‌کننده معروفی خواهد شد که باعث می‌شود نابرابری ماتریسی دوخطی ۱۸ نابرابری ماتریسی خطی تبدیل شود. ماتریس P_i را که در ۱۸ و ۱۹ معروفی شد همواره می‌توان به صورت معادله ۲۰ نوشت:

$$P_i = \begin{bmatrix} S_i & N_i \\ N_i^T & U_i \end{bmatrix} \quad i = 1, \dots, m \quad (20)$$

که در آن $N_i \in R^{\bar{n} \times k}$, $U_i = U_i^T \in R^{k \times k}$, $S_i = S_i^T \in R^{\bar{n} \times \bar{n}}$. فرض می‌شود که P_i در رابطه‌ی ۲۱ صدق کند:

$$P_i \chi_i^\dagger = \chi_i^\dagger \quad (21)$$

که در آن

$$\chi_i^\dagger = \begin{bmatrix} I & S_i \\ \circ & N_i^T \end{bmatrix} \quad \text{و} \quad \chi_i^\dagger = \begin{bmatrix} R_i & I \\ M_i^T & \circ \end{bmatrix} \quad (22)$$

و $\chi_i^\dagger \in R^{(\bar{n}+k) \times \bar{n}}$, $M_i \in R^{\bar{n} \times k}$, $R_i = R_i^T \in R^{\bar{n} \times \bar{n}}$. اما تحت قید ۲۲، رابطه‌ی ۲۱ با دو معادله‌ی ۲۳ و ۲۴ همزار است:

$$S_i R_i + N_i M_i^T = I \quad (23)$$

$$N_i^T R_i + U_i M_i^T = 0 \quad (24)$$

و به این ترتیب، با در نظر گرفتن عامل مستوی به عنوان یک ورودی ثابت، سیستم تکه‌ی مستوی در معادله‌ی ۱۱ توسط سیستم تکه‌ی خطی در معادله‌ی ۱۳ نمایش داده می‌شود که در آن \bar{G}_i نمایش گر نامی دینامیک خطی (نه تکه‌ی خطی) است. گام بعدی طراحی یک کنترل‌کننده K_i برای هر \bar{G}_i است. دینامیک کنترل‌کننده‌ی K_i برای \bar{G}_i طراحی می‌شود با K_i نمایش داده خواهد شد. کنترل‌کننده نهایی به این صورت عمل می‌کند که هرگاه در وجه نام باشد، K_i در حلقه‌ی بسته قرار خواهد گرفت و ساختار حلقه‌ی بسته مطابق شکل ۱ خواهد بود.

معادلات حاکم بر K_i به صورت دستگاه معادلات ۱۴ است که در آنها $\xi(t) \in R^k$ بردار حالت کنترل‌کننده است:

$$\begin{aligned} K_i : \quad \dot{\xi}(t) &= A_i^K \xi(t) + B_i^K e(t) & x(t) \in X_i & i = 1, \dots, m \\ u(t) &= C_i^K \xi(t) + D_i^K e(t) \end{aligned} \quad (14)$$

با توجه به معادلات ۱۳ و ۱۴، و با معرفی بردار حالت سیستم حلقه‌بسته به صورت $x_{CL}(t) = \begin{bmatrix} x(t) \\ \xi(t) \end{bmatrix}$ ، دینامیک حلقه‌ی بسته برای وقتی که plant در وجه نام قرار داشته باشد به دست می‌آید:

$$\begin{aligned} T_i : \quad \dot{x}_{CL}(t) &= A_i^{CL} x_{CL}(t) + B_i^{CL} \bar{w}(t) & x(t) \in X_i & i = 1, \dots, m \\ z(t) &= C_i^{CL} x_{CL}(t) + D_i^{CL} \bar{w}(t) \end{aligned} \quad (15)$$

در معادلات ۱۵، ماتریس‌های A_i^{CL} و B_i^{CL} و C_i^{CL} و D_i^{CL} بر حسب ماتریس‌های قیاسی چنین محاسبه می‌شوند:

$$\begin{aligned} A_i^{CL} &= \begin{bmatrix} \bar{A}_i + \bar{B}_i^u D_i^K \bar{C}_i^e & \bar{B}_i^u C_i^K \\ \bar{B}_i^K \bar{C}_i^e & A_i^K \end{bmatrix} \\ B_i^{CL} &= \begin{bmatrix} \bar{B}_i^w + \bar{B}_i^u D_i^K \bar{D}_i^{ew} \\ \bar{B}_i^K \bar{D}_i^{ew} \end{bmatrix} \\ C_i^{CL} &= \begin{bmatrix} \bar{C}_i^z + \bar{D}_i^{zu} D_i^K \bar{C}_i^e & \bar{D}_i^{zu} C_i^K \end{bmatrix} \\ D_i^{CL} &= \bar{D}_i^{zw} + \bar{D}_i^{zu} D_i^K \bar{D}_i^{ew} \end{aligned} \quad (16)$$

کنترل‌کننده‌ی K_i که با \bar{G}_i و T_i متناظر است به نحوی طراحی می‌شود که $\|T_i\| = \sup \left\{ \frac{\|z\|}{\|\bar{w}\|} \mid x_{CL}(0) = 0, \|\bar{w}\| \neq 0 \right\}$

که در آن

حال تغییر متغیرهای زیر را درمورد ماتریس‌های کنترل‌کننده معرفی می‌کنیم:

$$\phi_i^{11} = \begin{bmatrix} \overline{A_i} R_i + \overline{B_i^u} \overline{C_i^K} + \left(\overline{A_i} R_i + \overline{B_i^u} \overline{C_i^K} \right)^T \\ \left[\overline{A_i} + \left(\overline{A_i^K} \right)^T + \overline{B_i^u} \overline{D_i^K} \overline{C_i^e} \right]^T \\ \overline{A_i} + \left(\overline{A_i^K} \right)^T + \overline{B_i^u} \overline{D_i^K} \overline{C_i^e} \\ S_i \overline{A_i} + \overline{B_i^K} \overline{C_i^e} + \left(S_i \overline{A_i} + \overline{B_i^K} \overline{C_i^e} \right)^T \end{bmatrix}$$

$$\begin{aligned} \overline{A_i^K} &= N_i A_i^K M_i^T + N_i B_i^K C_i^e R_i + S_i B_i^u C_i^K M_i^T \\ &\quad + S_i \left(A_i + B_i^u D_i^K C_i^e \right) R_i \\ \overline{B_i^K} &= N_i B_i^K + S_i B_i^u D_i^K \quad \overline{C_i^K} = C_i^K M_i^T + D_i^K C_i^e R_i \\ \overline{D_i^K} &= D_i^K \end{aligned} \quad (25)$$

$$\begin{aligned} \phi_i^{12} &= \begin{bmatrix} \overline{B_i^w} + \overline{B_i^u} \overline{D_i^K} \overline{D_i^{ew}} & \left(\overline{C_i^z} R_i + \overline{D_i^{zu}} \overline{C_i^K} \right)^T \\ S_i \overline{B_i^w} + \overline{B_i^K} \overline{D_i^{ew}} & \left(\overline{C_i^z} + \overline{D_i^{zu}} \overline{D_i^K} \overline{C_i^e} \right)^T \end{bmatrix} \\ \phi_i^{22} &= \begin{bmatrix} -\eta_i I & \left(\overline{D_i^{zw}} + \overline{D_i^{zu}} \overline{D_i^K} \overline{D_i^{ew}} \right)^T \\ \overline{D_i^{zw}} + \overline{D_i^{zu}} \overline{D_i^K} \overline{D_i^{ew}} & -I \end{bmatrix} \end{aligned} \quad (26)$$

بهترین عملکرد H_∞ با کمینه‌سازی η_i نسبت به قیدهای ۲۸ به دست می‌آید. قیدهای ۲۸ از نوع LMI و قیدهای ۱۸ از نوع BMI هستند. کمینه‌سازی η_i نسبت به قیدهای ۲۸ یک مسئله‌ی بهینه‌سازی نیمه‌معین است که توسط نرم‌افزارهای کارآمد قابل حل است.

ماتریس‌های کنترل‌کننده‌ی تغییریافته، و $\overline{D_i^K}$ و $\overline{C_i^K}$ و $\overline{B_i^K}$ و A_i^K و B_i^K و C_i^K ماتریس‌های کنترل‌کننده‌ی اصلی اند. اگر ماتریس‌های N_i و M_i دارای رتبه‌ی سطحی تمام باشند آنگاه می‌توان ماتریس‌های کنترل‌کننده‌ی اصلی را از ماتریس‌های کنترل‌کننده‌ی تغییریافته محاسبه کرد. نیاز به برابری رابطه‌ی ۲۱ و تغییر متغیرهای ۲۵ طبق روابط توجیه می‌شود:

$$\begin{aligned} \left(\chi_i^i \right)^T P_i A_i^{CL} \chi_i^i &= \left(\chi_i^i \right)^T A_i^{CL} \chi_i^i \\ &= \begin{bmatrix} \overline{A_i} R_i + \overline{B_i^u} \overline{C_i^K} & \overline{A_i} + \overline{B_i^u} \overline{D_i^K} \overline{C_i^e} \\ \overline{A_i^K} & S_i \overline{A_i} + \overline{B_i^K} \overline{C_i^e} \end{bmatrix} \\ \left(\chi_i^i \right)^T P_i B_i^{CL} &= \left(\chi_i^i \right)^T B_i^{CL} = \begin{bmatrix} \overline{B_i^w} + \overline{B_i^u} \overline{D_i^K} \overline{D_i^{ew}} \\ S_i \overline{B_i^w} + \overline{B_i^K} \overline{D_i^{ew}} \end{bmatrix} \\ C_i^{CL} \chi_i^i &= \begin{bmatrix} \overline{C_i^z} R_i + \overline{D_i^{zu}} \overline{C_i^K} & \overline{C_i^z} + \overline{D_i^{zu}} \overline{D_i^K} \overline{C_i^e} \end{bmatrix} \\ \left(\chi_i^i \right)^T P_i \chi_i^i &= \left(\chi_i^i \right)^T \chi_i^i = \begin{bmatrix} R_i & I \\ I & S_i \end{bmatrix} \end{aligned} \quad (26)$$

بسادگی می‌توان نشان داد که اگر ماتریس M_i دارای رتبه‌ی سطحی تمام باشد آنگاه ماتریس‌های χ_i^i و $\{ \chi_i^i, I, I \}$ $\text{diag}\{\chi_i^i, I, I\}$ دارای رتبه‌ی سطحی تمام خواهند بود. در ادامه با فرض این که ماتریس M_i دارای رتبه‌ی سطحی تمام باشد، می‌توان χ_i^i و $\{ \chi_i^i, I, I \}$ $\text{diag}\{\chi_i^i, I, I\}$ را به طریقی شبیه به آنچه برای تبدیلات همنهشتی Λ انجام می‌شود به ترتیب به نامعادلات ۱۸ و ۱۹ اعمال کرد و دو معادله‌ی ماتریسی ۲۷ را نتیجه گرفت:

$$\begin{aligned} \left(\chi_i^i \right)^T P_i \chi_i^i &> 0 \quad \text{و} \\ \begin{bmatrix} \left(\chi_i^i \right)^T P_i A_i^{CL} \chi_i^i + \left(P_i A_i^{CL} \chi_i^i \right)^T \chi_i^i & \left(\chi_i^i \right)^T P_i B_i^{CL} \\ \left(P_i B_i^{CL} \right)^T \chi_i^i & -\gamma_i^i I \\ C_i^{CL} \chi_i^i & D_i^{CL} \end{bmatrix} \\ \begin{bmatrix} \left(C_i^{CL} \chi_i^i \right)^T \\ \left(D_i^{CL} \right)^T \\ -I \end{bmatrix} &< 0 \end{aligned} \quad (27)$$

با فرض $\gamma_i^i = \eta_i$ و با استفاده از روابط ۲۶ در ۲۷ نتیجه می‌شود که نابرابری‌های ماتریسی ۲۷ با نابرابری‌های ماتریسی زیر هم‌ارزند:

$$\begin{bmatrix} R_i & I \\ I & S_i \end{bmatrix} > 0 \quad \text{و} \quad \begin{bmatrix} \phi_i^{11} & \phi_i^{12} \\ (\phi_i^{12})^T & \phi_i^{22} \end{bmatrix} < 0 \quad (28)$$

$$\begin{aligned} u(t) &= C_i^K \xi(t) + D_i^K C_i^e x(t) + D_i^K D_i^{ew} w(t) \\ x(t) &\in X_i \quad i = 1, \dots, m \end{aligned} \quad (30)$$

برای تضمین پیوستگی سیگنال کنترلی کافی است داشته باشیم:

$$D_1^K = \dots = D_m^K = 0 \quad (31)$$

$$C_1^K = \dots = C_m^K = C^K \quad (32)$$

نظر به این که طراحی مستقیماً برای کنترل‌کننده‌ی تغییریافته انجام می‌شود، قیدهای ۳۱ و ۳۲ باشد به قیدهایی بر حسب ماتریس‌های کنترل‌کننده‌ی تغییریافته تبدیل شوند. با استفاده از روابط ۲۵ برای ماتریس‌های کنترل‌کننده‌ی تغییریافته، قیدهای ۳۱ و ۳۲ را می‌توان چنین نوشت:

$$\overline{D_1^K} = \dots = \overline{D_m^K} = 0 \quad (33)$$

$$\overline{C_1^K} = \dots = \overline{C_m^K} = \overline{C^K} \quad (34)$$

$$M_1 = \dots = M_m = M \quad (35)$$

قیدهای پیوستگی سیگنال کنترلی، به ماتریس‌های کنترل‌کننده اعمال می‌شوند، نه به ماتریس‌های plant و لذا این قیدها مستقیماً محدودیتی را برای plant موجب

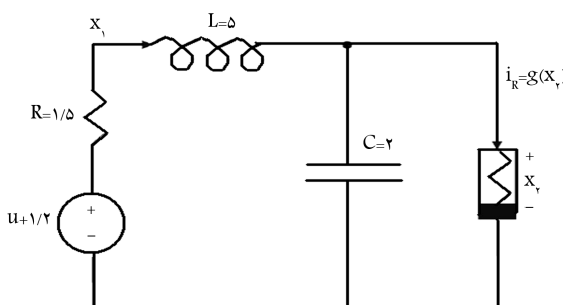
شبیه سازی

در این بخش، از یک سیستم الکتریکی که مداری مشکل از یک مقاومت، یک خازن، یک القاگر، یک مقاومت متغیر، و یک منبع ولتاژ است، به عنوان مثالی برای نمایش قابلیت اجرا و کارآیی کنترل کننده پیشنهادی استفاده می شود.^[۸,۹] مدار مورد بحث در شکل ۲ نمایش داده شده است. در این شکل، مقادیر مقاومت و خازن و القاگر و شدت جریان و اختلاف پتانسیل و زمان به ترتیب بر حسب کیلوواهم، پیکوفاراد، نانوهنری، میلی آمپر، ولت و نانوآمپر هستند. متغیرهای حالت عبارت اند از شدت جریان القاگر (x_1) و ولتاژ خازن (x_2). مشخصه غیرخطی مقاومت متغیر در شکل ۳ نمایش داده شده است. در این مثال، $X_2 = \{x | x_2 < 0, 2 < x_2 < 0, 6\}$, $m = 3$, $n = 2$, $F_{12} = F_{22} = \begin{bmatrix} 1 & 0 \\ 0 & 2 \end{bmatrix}^T$, $X_1 = \{x | x_1 > 0, 6\}$ و $f_{12} = \begin{bmatrix} 0 & 0 \\ 0 & 6 \end{bmatrix}^T$. معادلات فضای حالت plant چنین هستند:

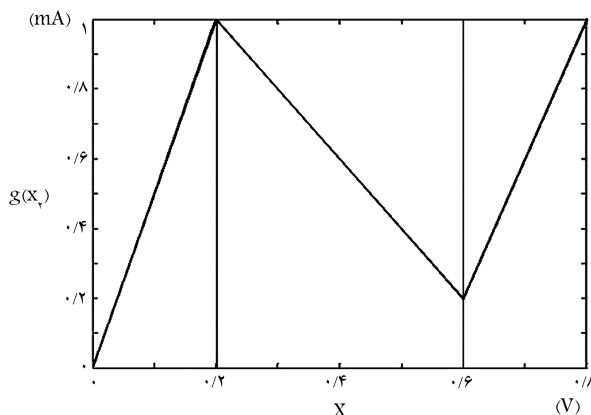
$$\begin{aligned} y(t) &= \begin{bmatrix} 0 & 1 \end{bmatrix} x(t) \\ \dot{x}(t) &= \begin{bmatrix} -30 & -20 \\ 0,05 & 0 \end{bmatrix} x(t) + \begin{bmatrix} 24 \\ -50g(x_1) \end{bmatrix} + \begin{bmatrix} 20 \\ 0 \end{bmatrix} u(t) \end{aligned} \quad (40)$$

توصیف تکه تکه میستوی plant عبارت است از:

$$H_i : \begin{aligned} \dot{x}(t) &= A_i x(t) + b_i + B_i u(t) & x(t) \in X_i & i = 1, 2, 3 \\ y(t) &= C_i x(t) + D_i u(t) \end{aligned} \quad (41)$$



شکل ۲. مدار مقاومت متغیر.



شکل ۳. مشخصه غیرخطی ولتاژ جریان برای مقاومت متغیر.

نمی شوند. اما در مسئله بینه سازی دو حالت ممکن است رخ دهد: اول این که مسئله بینه سازی پس از اعمال قیود ۳۵ کامان دارای جواب باشد. روش است که در این حالت، جواب نسبت به حالتی که قید اعمال نشود از بعضی لحاظ زیر بینه سازی خواهد بود. دوم این که قیود پیوستگی باعث شوند مسئله بینه سازی جواب نداشته باشد. در این حالت ساده ترین رویکرد این است که قیدهای پیوستگی در طراحی اعمال نشوند یا از روش دیگری برای طراحی استفاده شود. البته رویکرد بهتر که مسئله تلاش تحلیلی و محاسباتی بیشتری نیز هست، پیراستن قیدهای پیوستگی و رسیدن به شرایطی لازم و کافی است زیرا به نظر می رسد قیدهای ارائه شده صرفاً شرایطی کافی و بنابراین محافظه کارانه باشند.

ج) کنترل کننده از مرتبه \bar{n}

در تکمیل مطالب گفته شده خلاصه بی از مراحل طراحی و معودی نکات عملی ارائه می شود. دیدیم که طراحی کنترل کننده، منجر به کمینه سازی کمیت مشتت η_i تحت قیدهای ۲۸ می شود، که یک مسئله بینه سازی نیمه معین است. پس از انجام این مرحله، ماتریس های S_i , R_i , C_i , D_i^K , B_i^K , A_i^K , I , N_i , M_i و U_i به گونه ای تعیین می شوند که قیود ۲۳، ۲۴ و ۳۵ ارضاع شوند و به علاوه M_i و N_i که $\bar{n} \times k$ است هستند دارای رتبه سطري تمام باشند. از شرط رتبه ای سطري تمام نتیجه می شود که نامعادله \bar{n} باید $k \geq \bar{n}$ باشد. برقرار باشد، یعنی مرتبه کنترل کننده نباید از \bar{n} پایین تر باشد (مرتبه کنترل کننده است). در ادامه، فرض براین است که کنترل کننده از مرتبه \bar{n} است یعنی $k = \bar{n}$ و در نتیجه M_i و N_i مربعی و $\bar{n} \times \bar{n}$ هستند. روابط ۲۳ و ۲۴ را چنین می نویسیم:

$$N_i M_i^T = I - S_i R_i \quad (36)$$

$$U_i = -N_i^T R_i (M_i^T)^{-1} \quad (37)$$

از نابرابری ماتریسی خطی ۲۸ نتیجه می شود که $R_i > 0$ و $I - S_i R_i$ ناویژه است و می توان نتیجه گرفت که ماتریس های ناویژه M_i و N_i وجود دارند به طوری که در معادله ۳۶ صدق کنند. تعداد ماتریس های ناویژه M_i و N_i که معادلات ۳۵ و ۳۶ را ارضاع کنند بی نهایت است. به عنوان مثال:

$$N_i = (I - S_i R_i) (M_i^T)^{-1} \quad M_i = M \quad (38)$$

که در آن ماتریس M می تواند هر ماتریس ناویژه حقیقی $\bar{n} \times \bar{n}$ باشد. پس از تعیین M_i و N_i که ناویژه اند، U_i از رابطه $U_i = P_i R_i$ محاسبه، و طبق رابطه $P_i = D_i^K - C_i^K - B_i^K D_i^K$ تشکیل می شود. ماتریس های اصلی کنترل کننده را می توان از روابط ۲۵ و ۲۶ محاسبه کرد:

$$\begin{aligned} D_i^K &= \overline{D_i^K} & B_i^K &= N_i^{-1} (\overline{B_i^K} - S_i \overline{B_i^u} D_i^K) \\ C_i^K &= (\overline{C_i^K} - D_i^K \overline{C_i^u} R_i) (M_i^T)^{-1} \\ A_i^K &= N_i^{-1} [\overline{A_i^K} - N_i B_i^K \overline{C_i^u} R_i - S_i \overline{B_i^u} C_i^K M_i^T \\ &\quad - S_i (\overline{A_i} + \overline{B_i^u} D_i^K \overline{C_i^u}) R_i] (M_i^T)^{-1} \end{aligned} \quad (39)$$

نیست، اما ماتریس‌های کنترل‌کننده‌ی اصلی از روابط ۳۹ چنین به دست می‌آیند:

$$A_1^K = 10^3 \begin{bmatrix} 24 & 0 & 0 \\ 14111 & -42 & -8 \\ -12230 & 36 & 7 \end{bmatrix}$$

$$A_2^K = 10^3 \begin{bmatrix} 47 & 0 & 0 \\ 27260 & -71 & -4 \\ -20941 & 54 & 3 \end{bmatrix}$$

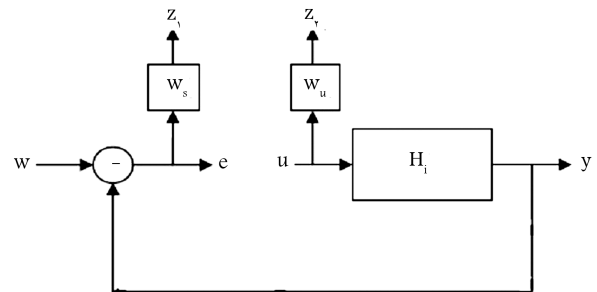
$$A_3^K = 10^3 \begin{bmatrix} 26 & 0 & 0 \\ 15222 & -44 & -8 \\ -12902 & 37 & 7 \end{bmatrix}$$

$$B_1^K = 10^4 \begin{bmatrix} -163 \\ -93775 \\ 81276 \end{bmatrix} \quad B_2^K = 10^4 \begin{bmatrix} -33 \\ -19426 \\ 14923 \end{bmatrix}$$

$$B_3^K = 10^4 \begin{bmatrix} -18 \\ -10332 \\ 8700 \end{bmatrix} \quad C_i^K = [4, 5901 \quad -0, 011 \quad -0, 0003]$$

$$D_i^K = 0 \quad i = 1, 2, 3$$

برای حلقة‌ی بسته و کنترل‌کننده‌ی پیشنهادی دو شبیه‌سازی انجام شده است. نتایج شبیه‌سازی اول در شکل ۵ نمایش داده شده‌اند^[۸] و علاوه بر بررسی کارایی می‌توان از آن برای مقایسه نیز استفاده کرد. در این شبیه‌سازی، ورودی مبنا $w(t) \equiv 0, 64V$ w است و حالت از $\begin{bmatrix} 0, 5mA \\ 0, 1V \end{bmatrix}^T$ به $x_{eq}^{(0)}$ می‌گذرد. زمان خیز^{*} را می‌توان به عنوان مدت زمان لازم برای رسیدن از $[y(0) \quad y(\infty)]$ به $[y(0) \quad y(\infty)]$ برای y به $(0, 0)$ تعریف کرد. طبق این تعریف، زمان خیز متناظر با کنترل‌کننده‌ی پیشنهادی در این مقاله در حدود ۱۲ نانوثانیه، و زمان خیز متناظر با کنترل‌کننده‌ی حلقة‌بسته^[۸] تقریباً ۷ نانوثانیه است. همچنین زمان نشست^{۱۰} را می‌توان به عنوان مدت زمان لازم برای رفت از $(0, 0)$ و رسیدن و ماندن در محدوده‌ی حلقة‌بسته^[۱۰] تعریف کرد. با این تعریف، زمان نشست متناظر با کنترل‌کننده‌ی پیشنهادی در این مقاله در حدود ۱۲ نانوثانیه، و زمان نشست متناظر با کنترل‌کننده‌ی حلقة‌بسته^[۸] تقریباً ۸ نانوثانیه است. به علاوه بالازدگی^{۱۱} ناشی از کنترل‌کننده‌ی پیشنهادی برابر با تقریباً ۱۸ درصد است در حالی که کنترل‌کننده‌ی حلقة‌بسته^[۸] منجر به بالازدگی نمی‌شود. از سوی دیگر، طراحی کنترل‌کننده‌ی حلقة‌بسته^[۸] بر مبنای بهینه‌سازی BMI است که از لحاظ محاسبات نسبت به بهینه‌سازی LMI از پیچیدگی بیشتری برخوردار است. در حقیقت نتایج به دست آمده در این مورد محصول ۷۶ بار تکرار هستند. شکل ۵ نیز نشان می‌دهد که چگونه شدت جریان القاگر و ورودی کنترلی در لحظاتی از زمان دچار تغییرات می‌شوند. این رفتار در کنترل‌کننده‌ی حلقة‌بسته^[۸] نیز مشاهده می‌شود. در شکل ۵ مسیر حالت و نواحی سهگانه‌ی X_1 و X_2 و X_3 و مزهای بین آن‌ها نیز نمایش داده شده‌اند. حالت plant به‌وضوح همه‌ی نواحی را سیر می‌کند. پیوستگی سیگنال کنترلی در لحظات عبور از مزهای علی‌رغم تغییرات در آن لحظات مشخص است. مقایسه‌ی نتایج این نوشته با نتایج موجود^[۸] نشان می‌دهد که کنترل‌کننده‌ی پیشنهادی از لحاظ زمان خیز و سرعت و سهولت محاسبات از کنترل‌کننده‌ی حلقة‌بسته^[۸] برتر است، در حالی که



شکل ۴. سیستم افزایش یافته برای کنترل مدار مقاومت متغیر در وجه نام.

که در آن

$$A_1 = \begin{bmatrix} -30 & -20 \\ 0, 05 & -250 \end{bmatrix}, \quad A_2 = \begin{bmatrix} -30 & -20 \\ 0, 05 & 100 \end{bmatrix},$$

$$A_3 = \begin{bmatrix} -30 & -20 \\ 0, 05 & -200 \end{bmatrix},$$

$$b_1 = \begin{bmatrix} 24 \\ 0 \end{bmatrix}, \quad b_2 = \begin{bmatrix} 24 \\ -70 \end{bmatrix}, \quad b_3 = \begin{bmatrix} 24 \\ 110 \end{bmatrix},$$

$$B_1 = B_2 = B_3 = \begin{bmatrix} 20 \\ 0 \end{bmatrix},$$

$$C_1 = C_2 = C_3 = \begin{bmatrix} 0 & 1 \end{bmatrix}, \quad D_1 = D_2 = D_3 = 0.$$

نقاط تعادل سیستم حلقه‌باز عبارت‌اند از:

$$x_{eq}^1 = \begin{bmatrix} 0, 71 & 0, 14 \end{bmatrix}^T, \quad x_{eq}^2 = \begin{bmatrix} 0, 5 & 0, 45 \end{bmatrix}^T$$

$$x_{eq}^3 = \begin{bmatrix} 0, 37 & 0, 64 \end{bmatrix}^T$$

هدف، طراحی کنترل‌کننده به‌گونه‌یی است که حلقة‌ی بسته، ورودی مبنا $w(t)$ را در خروجی سیستم تعقیب کند. سیستم افزایش یافته در شکل ۴ نمایش داده شده است. در این شکل تابع تبدیل $W_s(s)$ و $W_u(s)$ به ترتیب خطای تعقیب و ورودی کنترل‌را وزن‌دهی می‌کنند. انتخاب $W_s(s)$ و $W_u(s)$ براساس شکل ۴ دهی و معرفی خروجی‌های کارایی حلقة‌ی بسته صورت می‌گیرد و نهایتاً با سعی و خطا همراه است. عامل مهم دیگری نیز در گزینش $W_s(s)$ و $W_u(s)$ دخیل است و آن اجتناب از بالا رفتن مرتبه‌ی کنترل‌کننده و حلقة‌ی بسته است که باعث می‌شود تابع وزن‌دهی حتی الامکان ساده انتخاب شوند. انتخاب نهایی در این مثال عبارت است از: $W_u(s) \equiv 0, 1(s + 20)/(s + 0, 00)$ و $W_s(s) = 0, 1(s + 20)/(s + 0, 00)$. ملاحظه می‌شود که $W_u(s)$ قادر دینامیک است اما $W_s(s)$ را می‌توان به صورت یک سیستم دینامیکی از مرتبه‌ی ۱ در نظر گرفت. بنابراین $\bar{n} = 3$.

با داشتن plant افزایش یافته، چنان که پیش‌تر گفته شد، طراحی کنترل‌کننده به یک مسئله‌ی بهینه‌سازی تحویل می‌شود که توسط نرم‌افزاری ماتن Matlab قابل حل است و جواب آن ماتریس‌های A_i^K تا D_i^K یعنی ماتریس‌های کنترل‌کننده‌ی تعییر یافته و نیز ماتریس‌های R_i و S_i هستند. برای به دست آوردن ماتریس‌های کنترل‌کننده‌ی اصلی ابتدا M را یک ماتریس ثابت در نظر می‌گیریم که در این مثال $M = 10^3 I$ اختیار شده و I ماتریس همانی 3×3 است. سپس N_i را از رابطه‌ی $U_i = 37$ محاسبه کرده و P_i را که در این مورد یک ماتریس 6×6 است طبق رابطه‌ی $P_i = 20$ به دست می‌آوریم. ذکر همه‌ی نتایج عددی در اینجا ممکن

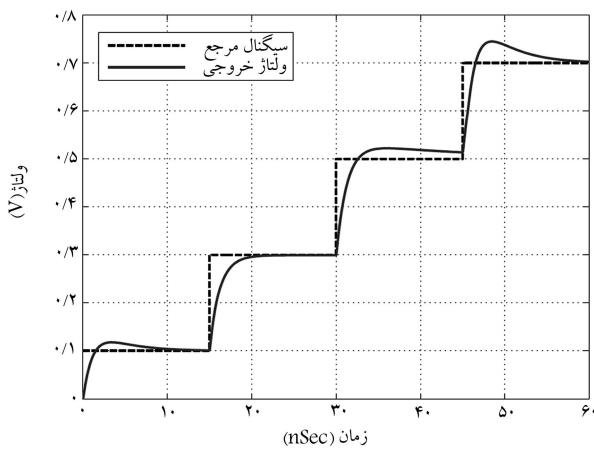
از نظر زمان نشست و میزان بالا زدگی، کنترل کننده حلقه بسته^[۸] رفتار مطلوب تری دارد.

شبیه سازی دوم، کارآبی کنترل کننده پیشنهادی را در تعقیب ورودی مبنای پله بی می کند. نتایج در شکل ۶ نمایش داده شده اند. دامنه تغییرات ورودی مبنای پله بی طوری انتخاب شده است که حالت plant هر سه ناحیه فضای حالت را سیر کند. مشاهده می شود که ورودی مبنای در همه حالت با تقریب بسیار خوبی دنبال می شود، برای بررسی پایداری حلقه بسته، با قرار دادن $w(t) \equiv 0$ در معادلات آن معادلات به معادلات ۴۲ تبدیل خواهد شد:

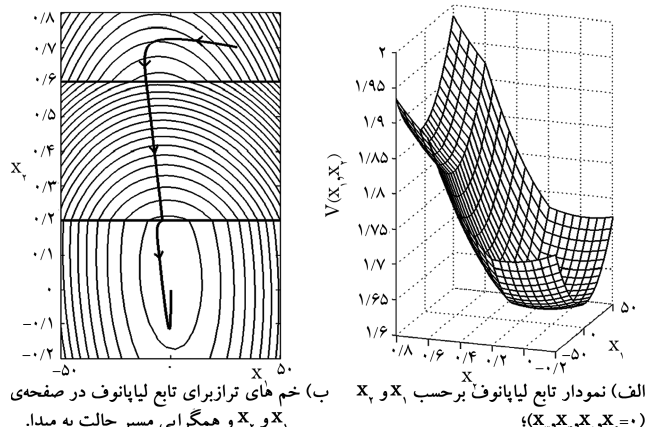
$$T_i \quad \dot{x}_{CL}(t) = A_i^{CL}x_{CL}(t) + b_i^{CL} \\ z(t) = C_i^{CL}x_{CL}(t) \quad x(t) \in X_i \quad i = 1, 2, 3$$

(۴۲)

که در آن $b_i^{CL} = [b_i \quad 0]^T$. هرگاه سه تابی های $\{P_i, q_i, r_i\}_{i=1}^3$ یافت شوند به گونه ای که نامعادله های ۶، ۷، ۸، نامعادلات ۹، ۱۰ ارضاع شوند، دستگاه فوق ۴۲ پایدار است. پس از محاسبه A_i^{CL} و F_{ij} و f_{ij} و استفاده از نرم افزار مطلب برای حل این مسئله محدب، سه تابی های مذبور یافت شدند و به این ترتیب پایداری حلقه بسته محرز شد. با داشتن $\{P_i, q_i, r_i\}_{i=1}^3$ تابع لیاپانوف تکه تکه مربعی طبق ضوابط ۵ تعیین شد و از آنجا مجموعه $Q = \{Q_1, Q_2, Q_3\}$ نیز

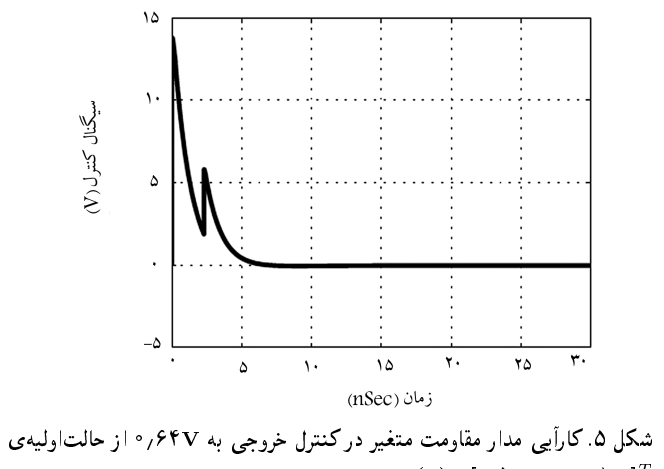
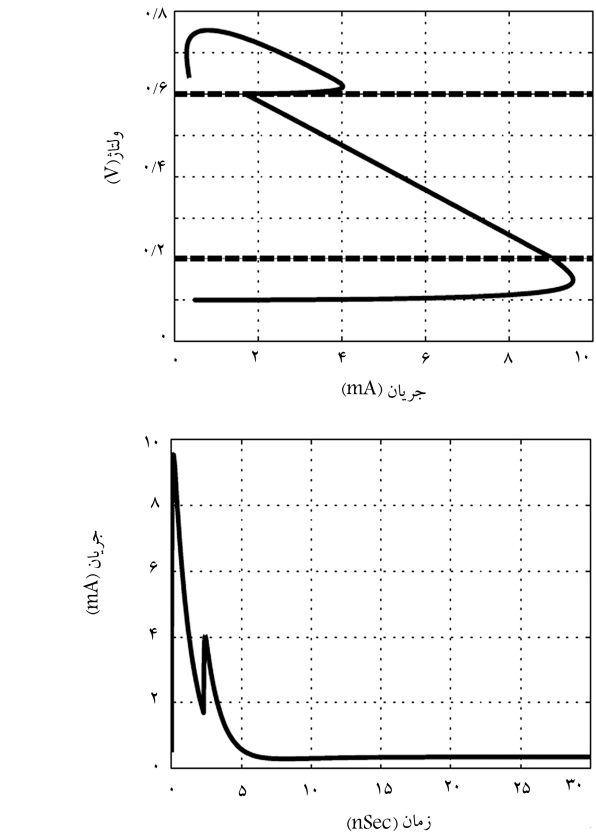
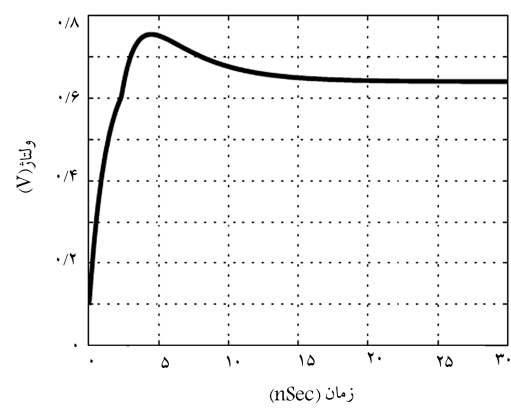


شکل ۶. کارآبی مدار مقاومت متغیر در تعقیب ورودی مبنای پله بی.



الف) نمودار تابع لیاپانوف بر حسب x_1 و x_2 ؛
ب) خم های تراز برای تابع لیاپانوف در صفحه (x_1, x_2) ؛
و همگرایی مسیر حالت به میدا.

شکل ۷. نمودار و خم های تراز برای تابع لیاپانوف.



شکل ۵. کارآبی مدار مقاومت متغیر در کنترل خروجی به $64V$ از حالت اولیه
 $x(0) = [0, 5mA, 0, 1V]^T$

سه‌گانه نمایش داده شده است. مشاهده می‌شود که مطابق انتظار:

$$\lim_{t \rightarrow \infty} \begin{bmatrix} x_1(t) \\ x_2(t) \end{bmatrix} = \begin{bmatrix} 0 \\ 0 \end{bmatrix}$$

در این شکل همچنین منحنی‌های ترازِ مقطع تابع لیاپونوف مزبور- منحنی‌هایی با معادله $V(x_1, x_2, 0, 0, 0, 0) = c$ - بهارای مقادیر مختلف c دیده می‌شوند.

طبق تعریف ۸ به دست آمد که در معادلات ۴۳ آورده شده است:

$$Q_2 = \begin{Bmatrix} -2/1 \\ 0 \\ 23/9 \\ 18/7 \\ 10746 \\ -17440 \end{Bmatrix}, \quad Q_1 = \begin{Bmatrix} 1/3 \\ 0 \\ 24/1 \\ -9/4 \\ -5494 \\ 4408 \end{Bmatrix}, \quad Q_0 = \begin{Bmatrix} 0 \\ 0 \\ 24/9 \\ -45/5 \\ -26240 \\ 19995 \end{Bmatrix} \quad (43)$$

نتیجه‌گیری

در این مقاله روشی برای طراحی کنترل‌کننده‌ی دینامیکی تکه‌تکه‌ی خطی که می‌توان آن را کنترل‌کننده‌ی تکه‌تکه‌ی H_∞ نامید، برای سیستم‌های تکه‌تکه‌ی مستوی ارائه شد. نشان داده شد که مسئله‌ی طراحی رامی‌توان در قالب بهینه‌سازی نیمه‌معین بیان و حل کرد. پایداری حلقه‌بسته و پیوستگی سیگنال کنترلی نیز بررسی شد. اجرایی بودن روش طراحی پیشنهادی با شبیه‌سازی برای یک سیستم الکتریکی ساده و مقایسه‌ی کارآیی کنترل‌کننده‌ی طراحی شده با کارآیی کنترل‌کننده‌ی دیگری که برای همان سیستم طراحی شده بود^[۸] نشان داده شد.

نقاط Q_2 و Q_1 در داخل نواحی دوم و سوم قرار نمی‌گیرند؛ لذا تنها نقطه‌یی از مجموعه‌ی Q که مسیرهای حالت سیستم حلقه‌بسته تحت $w(t) \equiv 0$ به آن می‌کند نقطه‌ی Q_0 است. تابع لیاپونوف مورد بحث شش متغیره است که دو متغیر اول آن عبارت‌اند از شدت جریان القاگر و ولتاژ خازن. لذا در شکل ۷ الف نمودار $(x_1, x_2, 0, 0, 0, 0)$ به عنوان تابعی از این دو متغیر نمایش داده شده است. مسیر حالت سیستم حلقه‌بسته، یک منحنی در فضای شش‌بعدی است. در شکل ۷ ب تصویرین منحنی بر صفحه‌ی x_1, x_2 با شروع از نقطه‌ی اولیه در $x = [0, 0, 0, 0, 0, 0]^T$ همراه با مرزهای بین نواحی

پابلوشت

1. piecewise linear
2. piecewise affine
3. linear matrix inequality (LMI)
4. bilinear matrix inequality (BMI)
5. iterative method
6. piecewise quadratic lyapunov function
7. loop shaping
8. congruence transformations
9. rise-time
10. settling-time
11. overshoot

منابع

1. Rantzer, A., and Johanson, M. "Piecewise linear quadratic optimal control," *IEEE Transactions on Automatic Control*, **45**(4) pp. 629-637 (2000).
2. Rodrigues, L., and How, J.P. "Automated control design for a piecewise affine approximation of a class of nonlinear systems," *Proceedings of the American Control Conference*, Arlington, VA, pp. 3189-3194 (2001).
3. Johanson, M., and Rantzer, A. "Computation of piecewise quadratic lyapunov functions for hybrid systems," *IEEE Transactions on Automatic Control*, **43**(4) pp.555-559 (1998).
4. Hassibi, A., and Boyd, S. "Quadratic stabilization and control of piecewise linear systems," *Proceedings of the American Control Conference*, Philadelphia, PA, pp. 3659-3664 (June 1998).
5. Boyd, S.; El Ghaoui, L.; Feron, E., and Balakrishnan, V. "Linear matrix inequalities in system and control theory," *SIAM Studies in Applied Mathematics*, **15** (1994).
6. Gahinet, P.; Nemirovski, A.; Laub, A., and Chilali, M. *LMI Control Toolbox User's Guide*, The Mathworks, Inc. (1995).
7. Nesterov, Y., and Nemirovsky, A. "Interior-point polynomial methods in convex programming," *SIAM Studies in Applied Mathematics*, **13**, (1994).
8. Rodrigues, L.; Hassibi, A., and How, J.P. "Output feedback controller synthesis for piecewise-affine systems with multiple equilibria," *Proceedings of the American Control Conference*, Chicago, IL, pp. 1784-1789 (June 2000).
9. Scherer, C.; Gahinet, P., and Chilali, M. "Multiobjective output-feedback control via LMI optimization," *IEEE Transactions on Automatic Control*, **42**(7), pp. 896-911 (July 1997).
10. McFarlane, D. and Glover, K. "A loop shaping design procedure using H_∞ synthesis," *IEEE Transactions on Automatic Control*, **37**(6), pp. 759-769 (1992).

